

## ДИНАМІКА ЙОННОЇ ЕМІСІЇ ПРИ РЕЗОНАНСНОМУ І НЕРЕЗОНАНСНОМУ ПОГЛИНАННІ ЛАЗЕРНОГО ВИПРОМІНЮВАННЯ ПЛАЗМОЮ НА ПОВЕРХНІ ТВЕРДОГО ТІЛА

І. І. Опачко, Л. Л. Шимон, Б. Я. Хом'як

Ужгородський державний університет, Україна, 294000, Ужгород, вул. Підгірна, 46

(Отримано 23 жовтня 1995)

Методом часопролітної мас–спектрометрії з роздільною здатністю в часі  $\sim 50$  нс досліджена динаміка йонної емісії під дією випромінювання ексимерного  $\text{XeCl}$  лазера на поверхню.

Під час дії випромінювання на графітову та алюмінієву мішенні (масивні та плівки), для яких процес поглинання лазерного випромінювання мав нерезонансний і резонансний характер, досліджені мас–енергетичні спектри емітованих компонент. Виявлено двогорба структура йонної емісії  $\text{Al}^+$ , зумовлена резонансним характером поглинання лазерного випромінювання  $\lambda = 308$  нм парою алюмінію, а також двогорба структура  $\text{C}_n^+$ , зумовлена ударними хвилями в графітовій мішенні при нерезонансному поглинанні, які відповідають за утворення складних молекул  $\text{C}_n$ .

Експериментально доведена можливість спостереження в оптичному діапазоні з  $\lambda = 510.6$  нм дії ексимерного лазера на поверхню за допомогою квантового підсилювача яскравості (КПЯ) на базі активного елемента лазера на парах міді з роздільною здатністю  $\sim 25$  нс.

**Ключові слова:** лазерна плазма, мас–спектрометрія, квантovий підсилювач, ударні хвили, лазерна мас–спектрометрія, йонізація.

PACS number(s): 52.50Jm; 52.25Jm; 2.80Ms

### I. ВСТУП

Ранні зондові і мас–спектричні дослідження лазерної плазми, утвореної дією випромінювання помірної густини потужності  $q \geq 10^8$  Вт/см<sup>2</sup> на поверхню твердого тіла, свідчать, що імпульс інтегральної йонної емісії може мати багаторубку структуру. Швидкий пік може відповідати як поверхневим забрудненням, що легко випаровуються для випадку тугоплавкої мішенні [1], так і самому матеріалу мішенні. Застосування традиційних часопролітних мас–спектрометрів з електростатичними аналізаторами не дало змоги виявити динаміку утворення груп іонів у фокальній плямі (ядрі плазмового згустка), оскільки роздільна здатність у часі такого мас–спектрометра становила одиниці мікросекунд. Винятком були випадки, коли часовий інтервал між піками інтегральної емісії становив  $\leq 10^3$ . Перші експерименти із застосуванням системи зондів на різних відстанях від поверхні мішенні дали змогу методом апроксимування відстані зонд–мішень до розмірів фокальної плями виявити для випадку “важкої” мішенні  $\text{Bi}_{12}\text{GeO}_{20}$  [2], що швидкий імпульс отримується практично синхронно з лазерним, а “повільні” низькоенергетичні імпульси, що містять складні молекули з  $m \approx 1500\text{--}2900$ , — після закінчення лазерного імпульсу. Це дало підставу припустити, що механізм їх утворення зумовлений ударними процесами, які відбуваються під час взаємодії пари з поверхнею. На користь цього механізму свідчить наявність у плівках, напілених з компонент лазерної плазми,

мікрокрапель, які спостерігали під час електронно–мікроскопічного вивчення конденсатів “на просвіт”. За допомогою часопролітних мас–спектрометрів типу мас–рефлектрана [3] досліджували динаміку утворення іонів з часовою роздільною здатністю 50 нс. Перші експериментальні дослідження з застосуванням такого типу мас–спектрометрів [4] дали змогу виявити локалізацію та піковий режим емісії іонів з лазерної плазми.

Унаслідок дії на поверхню твердого тіла лазерного випромінювання наносекундної тривалості густиною потужності  $q \leq 10^9$  Вт/см<sup>2</sup>, яка є найбільш типовою для технологічних процесів і яку можна застосувати в лазерній мас–спектрометрії, процес випаровування залежно від теплофізичних властивостей мішенні можна описувати як газодинамічними рівняннями з неперервними рівняннями стану [5], так і рівняннями, які враховують різку межу поділу фаз [6]. У другому випадку процес випаровування можна описувати як однофазний варіант задачі Стефана [7]. У цій моделі з урахуванням екранування поверхні і радіаційного потоку лазерної плазми на алюмінієву мішень числовий розрахунок, виконаний для випромінювання неодимового лазера густиною потужності  $5 \cdot 10^8$  Вт/см<sup>2</sup> ( $\lambda = 1060$  нм), свідчить про двогорбий характер випаровування з інтервалом 100–300 нс.

Прості оцінки свідчать, що при вище згаданих густинах потужності для вуглецю реалізується режим сублімації, що дає змогу допускати одногорбий режим випаровування.

Ефект екранування і пов'язана з ним двогорбість емісії підсилюється у випадку резонансного поглинання лазерного випромінювання компонентами лазерної плазми. Такі умови можуть бути, наприклад, під час випромінювання ексимерного XeCl-лазера з довжиною хвилі  $\lambda = 308$  нм, близькою до довжини хвилі переходу в атомі алюмінію  $3P_{1/2}-3D_{3/2}$  ( $\lambda = 308.2$  нм). У праці [8] описано числовий експеримент, який охоплював задачу Стефана, умови Найта, що пов'язують характеристики насиченої пари з газодинамічними характеристиками, задачу про кінетику атомної пари під дією випромінювання. Результатом розрахунків є двогорбий характер концентрації електронів і атомів лазерної плазми.

За допомогою перелічених вище ефектів можна з'ясувати фізику процесів під час дії лазерного випромінювання помірної густини на мішенні, виявити принципові обмеження роздільної здатності часопролітної мас-спектрометрії, а також отримати додаткову інформацію про склад поверхні твердого тіла. Для вивчення процесів, які відбуваються під час дії лазерного випромінювання густину потужності  $10^7-10^{10}$  Вт/см<sup>2</sup> на поверхню, сконструйована установка, яка має:

ексимерний XeCl-лазер (енергія 0.1 Дж,  $\tau = 35$  нс,  $\lambda = 308$  нм) [9];

вакуумну камеру взаємодії лазерного випромінювання з поверхнею з віконцем з кварцового скла КУ2, з'єднану з дрейфовою трубкою часопролітного мас-спектрометра 3, який працював у режимі часовогового фокусування;

систему зондів для реєстрації йонного сигналу на різних відстанях від мішенні;

систему реєстрації йонного сигналу на базі цифрового осцилографа з накопичувачем інформації;

квантовий підсилювач яскравості на базі активного елемента лазера на парах міді для спостереження з часовим розділенням  $\sim 25$  нс за поверхнею мішени [10].

Як мішени вибрали спектрально чистий графіт та алюміній (99.999%) з таких міркувань:

по-перше, вуглець і алюміній, як легкі мішени, спричиняють запізнення появи йонних пакетів щодо лазерного імпульсу на 20–30 нс [4];

по-друге, ці елементи не мають довгоживучих ізотропів ( $C_{13}$  можна нехтувати), тому в спектрограмах нема ізотропного розщеплення ліній;

по-третє, для цих матеріалів близькі критичні густини потужності, що відповідають початку інтенсивного випаровування ( $q \approx 1-2 \cdot 10^7$  Вт/см<sup>2</sup>);

по-четверте, під час нагрівання вуглець сублімує, а алюміній випаровується через плавлення, що дає змогу дослідити якісно різні механізми емісії;

по-п'яте, для алюмінію можливе резонансне поглинання лазерного випромінювання, крім того, виконані числові розрахунки, які передбачають двогорбий характер емісії компонент плазми з інтервалом між піками  $> 100$  нс, який можна зареєструвати, одночасно перевіривши коректність вимірювань експериментальною апаратурою динаміки емісії.

У мас-спектрах йонної емісії з поверхні графіту є молекулярні іони  $C_n$ , часові характеристики появи яких щодо лазерного імпульсу ще недостатньо вивчені.

## ІІ. ОСОБЛИВОСТІ ЕКСПЕРИМЕНТУ

Створений експериментальний комплекс (рис. 1) дає змогу досліджувати основні параметри емісії іонів і нейтральних компонент під дією лазерного випромінювання на поверхню в діапазоні густин потужності  $10^7-10^{10}$  Вт/см<sup>2</sup>. Як мішенні застосовували масивні зразки з графіту й алюмінію (опромінювали з фронтального боку), а також їхні плівки товщиною 0.3–2.0 мкм, напилені на кварцову підкладку (опромінювання могли виконувати як з фронтального, так і з тильного боку). Випромінювання ексимерного XeCl-лазера ( $\lambda = 308$  нм) за допомогою лінз з  $f \approx 8$  см фокусували у пляму  $\alpha \sim 0.2$  мм. Густину потужності на мішенні регульували зміною рівня накачування ексимерного лазера, а також уведенням послаблювальних світлофільтрів.

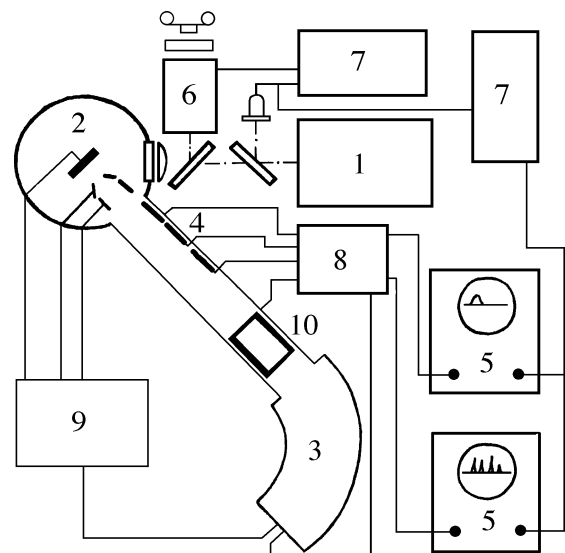


Рис. 1. Схема експериментального комплексу: 1 — ексимерний XeCl лазер; 2 — вакуумна камера взаємодії лазерного випромінювання з мішенню; 3 — часопролітний мас-спектрометр; 6 — зонди; 5 — система реєстрації йонного сигналу; 6 — квантовий підсилювач яскравості; 7 — регульована лінія затримки; 8 — блок комутації; 9 — блок живлення; 10 — пересувний електростатичний аналізатор.

Емітовані з поверхні іони, якщо потрібно, можна було прискорювати витягуючим і фокусуючим електродами (потенціал  $\sim 300-400$  В) і направляти у дрейфову трубку часопролітного мас-спектрометра, у кінці якого був електростатичний аналізатор (селектор). Аналізатор давав змогу працювати і без прискорювального потенціалу. В аналізаторі завдяки введенню додаткових електродів поле відрізнялося

від циліндричного, що дало змогу працювати в режимі часового фокусування з роздільною здатністю  $M/\Delta M \approx 500$  при відносній енергетичній смузі пропускання  $\Delta E/E \sim 0.1$ .

КПЯ являє собою активний елемент лазера на парах міді з довжиною активного середовища  $l = 70$  см і діаметром розрядного каналу  $\varnothing = 2$  см, який працював у саморозігрітому режимі з частотою повторення імпульсів  $f = 8$  кГц на  $\lambda = 510.6$  нм. Нагрівальний ексимерний лазер працював у режимі однократних імпульсів. Під час оптичних вимірювань попередньо нагрітий КПЯ короткочасно переводили в режим однократних імпульсів і синхронізували з запуском XeCl-лазера через регульовану лінію затримки. Таким чином з часовою роздільною здатністю 20–25 нс (тривалість інверсії в КПЯ) на фотоплівку могло фіксуватися зображення фокальної області в різні моменти часу.

Біля поверхні мішені поміщали термокатод з імпульсним струмом  $\sim 1$ . А для іонізації нейтральних компонент плазми і визначення основних параметрів емісії цих компонент. У дрейфовій трубці поміщали три зонди і могли розміщувати малогабаритний пересувний електростатичний аналізатор з параболічною траєкторією ( $M/\Delta M \approx 20$ ) для визначення параметрів плазми на різних відстанях від мішені. Роздільна здатність системи реестрації йонного сигналу (ВЕП — підсилювач, осцилограф)  $\tau \sim 50$  нс, що давало змогу реалізувати роздільну здатність масспектрометра і виявити можливу пікову структуру йонної емісії.

### ІІІ. РЕЗУЛЬТАТИ ЕКСПЕРИМЕНТУ

Під час опромінення з фронтального боку масивних (товщиною  $\sim 5$  мм) графітової та алюмінієвої мішень появляються  $C^+$ ,  $C_2^+$  фіксується, починаючи з густини потужності  $q = 2 \cdot 10^6$  Вт/см<sup>2</sup>, а  $Al^+$  — при  $6 \cdot 10^6$  Вт/см<sup>2</sup>, якщо нема візуального руйнування поверхні, і впродовж 20–30 лазерних імпульсів супроводжується лазерно-стимульованою десорбцією йонів поверхневих забруднень  $H^+$ ,  $O^+$ ,  $N^+$ . У цьому випадку енергії емітованих йонів не перевищують значень  $E \leq 10$  еВ, порівняних з роботою виходу з поверхні. Під час опромінення з тильного боку графітових та алюмінієвих плівок товщиною  $l_H > 0.5$  мкм поріг появи емісії удвічі вищий. Починаючи з  $q \geq 5 \cdot 10^8$  Вт/см<sup>2</sup>, біля поверхні мішень з'являється плазмовий згусток, що супроводжується світінням. Межа енергетичних спектрів імітованих йонів зсувається в область десятків–сотень електрон–вольт. Вимірювання, виконані за допомогою зондів і пересувного аналізатора виявили залежність концентрації компонент плазми від відстані  $n \sim I/L^3$ , що відповідає “заморожуванню” іонізаційного стану [11] на пізній стадії розльоту (для наших вимірювань  $L > 10$ ).

Як свідчать оцінки, виконані в межах гідродинамічної моделі нагрівання і розльоту лазерної плазми при  $q \approx 4 \cdot 10^9$  Вт/см<sup>2</sup>, тиск плазми на фронті аблляції

[12] становить  $p = (2\text{--}3) \cdot 10^4$  Бар при температурі плазмової корони  $T = 0.5\text{--}0.7$  еВ. Скачок тиску спричинює в мішені ударну хвилю з ефективністю перетворення енергії лазерного випромінювання в енергію ударної хвилі  $\eta \sim \lambda^{-1}$  (для  $\lambda = 308$  нм  $\eta \approx 10\%$ ). Одночасно під час швидкої зміни тиску процес випаровування може гальмуватися за рахунок реакції з боку випарованої речовини. У праці [7] випаровування алімінію під дією випромінювання неодимового лазера  $\lambda = 1060$  нм розглядали в межах однофазної задачі Стефана з ізометричним скачком і з застосуванням моделі кнудсенівського шару. Отримані розв'язки свідчать про наявність двох імпульсів емісії з поверхні з інтервалом 100–300 нс.

Цей ефект двогорбості емісії має посилюватися під час сильного резонансного поглинання випромінювання XeCl-лазера, що буває в Al плазмі [8, 13], яке спричинює ще більший додатковий протитиск плазми, а також випаровування мішені, зумовлене випромінюванням з лазерної плазми (1-й імпульс, зумовлений лазерним випромінюванням, а 2-й — радіаційним потоком з лазерної плазми).

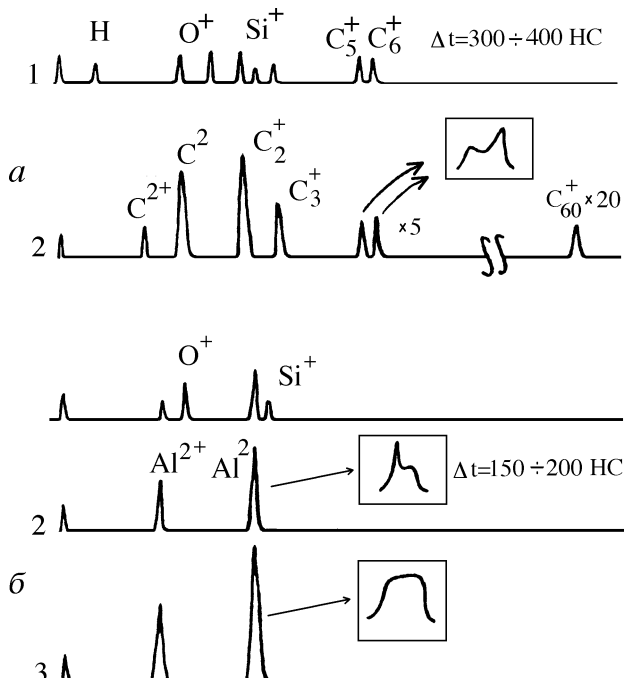


Рис. 2. Мас-спектри емітованих компонент при  $q = 10^9$  Вт/см<sup>2</sup>. а). Графітова мішень: 1 — 1.5 мкм плівка, тильний бік, 2 — масивна мішень (товста плівка). б). Алюмінієва мішень: 1 — 0.5 мкм плівка, тильний бік, 2 — масивна мішень (товста плівка), 3 — масивна мішень (товста плівка), додаткова іонізація електронним пучком.

Для перевірки цієї гіпотези досліджували емісію іонів і нейтральних компонент з отриманих лазерним напиленням на кварцову підкладку алюмінієвих плівок різних товщин  $l_H$  під час їхнього опромінення як з тильного, так і з фронтального боку. Ці експерименти виконували в межах програмами лазерного очи-

щення ілюмінаторів космічних апаратів. Досліджували напилені плівки товщиною від часток (декілька десятих) до декількох значень  $l_H = \sigma \tau_{\text{л}} \sim 10^4$  см, ( $l_H$  — глибина проникнення теплової хвилі в мішенні).

Так само для порівняння з масивною мішенню застосовували графітові плівки, напилені лазерним методом на підкладку з кварцового скла. Температуропровідність кварцової підкладки  $\sigma_{\text{п}}$  на два

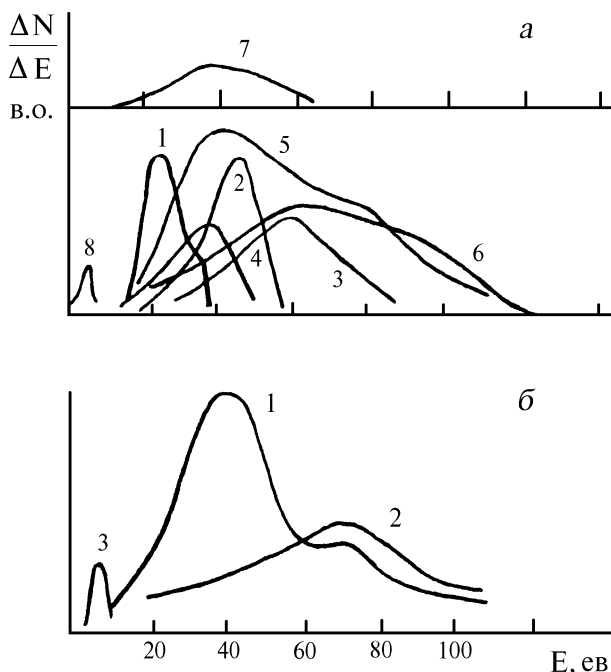


Рис. 3. Енергетичні спектри йонів при  $q = 10^9$  Вт/см<sup>2</sup>. а). Графітова мішень: 1, 2, 3 —  $C^+$ ,  $C^{2+}$ ,  $C^{3+}$ , масивна мішень (товста плівка), 4 —  $C_2^+$ , 5, 6 —  $C^+$ ,  $C^{2+}$ , графіт з домішкою Al, 7 —  $C_5^+$  і  $C_6^+$ , 8 —  $C^+$ , 1.5 мкм плівка, тильний бік. б). Алюмінієва мішень: 1 —  $Al^+$ , 2 —  $Al^{2+}$ , 3 —  $Al^+$ , 2 мкм плівка, тильний бік.

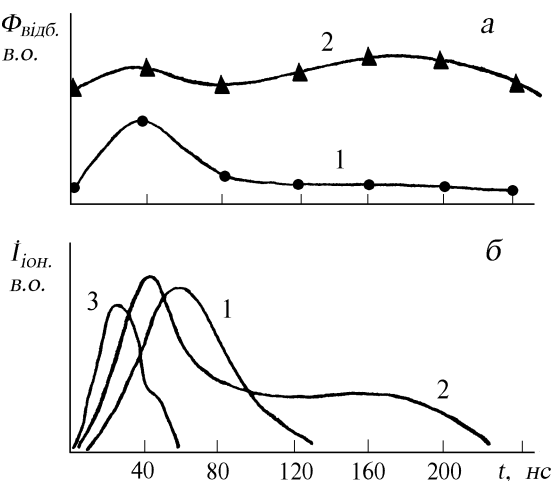


Рис. 4. Залежність відбитого в апертуру КПЯ випромінювання ( $\lambda = 510.6$  нм) від часу затримки щодо до лазерного імпульсу 3 (а). Суміщені з імпульсом генерації 3 XeCl лазера імпульси йонного струму 1 —  $C^+$ , 2 —  $Al^+$  (б).

порядки нижча, ніж плівок, і у випадку товстих плівок  $d > l_H$  вони поводяться як масивні мішенні (критерій “товстоти” контролювали на просвітлення опроміненої ділянки мішенні). Результати вимірювань дали змогу зробити такі висновки:

1. Опромінення масивних мішенні Al і товстих Al плівок з фронтального боку при густинах потужності  $2 \cdot 10^8$ — $10^9$  Вт/см<sup>2</sup> емісія  $Al^+$  і нейтральних атомів має слабо виражений двогорбий у часі характер (рис. 2б, рис. 4б) (відносний ступінь іонізації другого піка в п'ять—сім разів нижчий, ніж основного, що підтверджується мас-спектром нейтральних компонент), а  $Al^{2+}$  — одногорбий, що свідчить про таке: радіаційний потік з лазерної плазми недостатній для утворення  $Al^{2+}$ . При  $q > 10^9$  Вт/см<sup>2</sup> другий пік  $Al^+$  на фоні інтенсивного основного піка не розрізняється.

2. При опроміненні з тильного боку товстих Al плівок  $1.5l_H \leq d \leq 3l_H$  емісія йонів (тільки  $Al^+$ ) і нейтралей має одногорбий характер з енергіями йонів  $E_i \leq 5$ — $7$  еВ (рис. 3б).

3. При опроміненні тонких Al плівок  $d < 1.5l_H$  у мас-спектрах наявні  $Al^+$ ,  $Si^+$ ,  $O^+$ ,  $H^+$ , емісія має одногорбий (у часі) характер з енергіями йонів 15—20 еВ (рис. 2б, крива 1).

4. При опроміненні масивної графітової мішенні, починаючи з  $q = 2 \cdot 10^6$  Вт/см<sup>2</sup>, у мас-спектрах одночасно з'являються іони  $C^+$ ,  $C_2^+$ ,  $C_3^+$  а при  $q > 10^8$  Вт/см<sup>2</sup> реєструється іонна компонента  $C_5^+$ , а також молекулярні іони  $C_5^+—C_{10}^+$ , з монотонно коливним  $C_n^+$  ( $n = 5$ — $10$ ) спаданням амплітуди зі збільшенням  $n$  і відносно інтенсивними піками  $C_5^+$ ,  $C_6^+$  та молекулярним іоном  $C_{60}^+$ .

5. Піки  $C_5^+$ ,  $C_6^+$  мають слабо виражену двогорбу структуру з інтервалами між піками 300—400 нс (рис. 2а, крива 2). На відміну від двогорбих піків  $Al^+$  інтенсивність другого піка  $C_5^+$  і  $C_6^+$  перевищує слабоінтенсивний перший пік, а додаткове збудження нейтральних компонент помітно не змінює співвідношення між піками. Роздільна здатність мас-спектрометра не дала змоги розділити в часі структуру  $C_{60}^+$ .

6. При опроміненні з тильного боку товстих  $d > 1.5l_H$  плівок графіту в мас-спектрах зафіксовані низькоенергетичні іони  $C^+$ ,  $C_2^+$ ,  $C_3^+$  з енергіями  $E \leq 7$ — $10$  еВ. Більш складні комплекси не зареєстровані в діапазоні  $10^7$ — $10^9$  Вт/см<sup>2</sup>.

7. При опроміненні тонких графітових плівок  $d < 1.5l_H$  зафіксовані  $C^+$ ,  $C_2^+$ ,  $C_3^+$ , а також  $C^{2+}$  з енергіями  $E \leq 20$ — $70$  еВ (енергія іонів пропорційна до маси) — енергетичні розподіли в шкалі швидкостей збігаються. Вихід складних комплексів  $C_5^+$ ,  $C_6^+$  у п'ять—десятеразів нижчий, ніж при опроміненні з фронтального боку, а  $C_{60}^+$  не зареєстрований (рис. 2а, крива 1).

8. При опроміненні графітової мішенні з домішкою  $\sim 10\%$  об'ємних Al вихід іонів  $C^+$ ,  $C^{2+}$ ,  $C_2^+$  збільшується в три—п'ять разів, а вихід  $C_5^+$ ,  $C_6^+$  та  $C_{60}^+$  — практично не змінюється, хоча двогорбий характер іонної емісії не помітний (рис. 3а, криві 5, 6).

9. Спостереження області взаємодії випромінювання за допомогою КПЯ з роздільною здатністю  $\sim 25$  нс, синхронізованим з нагрівальним лазерним імпульсом через регульовану лінію затримки дало змогу виявити такі особливості:

для графітової мішенні відбиває здатність збільшується практично синхронно з нагрівальним випромінюванням (рис. 4б). У цьому випадку в області взаємодії простежуються локальні сильно відбивні неоднорідності розмірами 5–10 мкм.

для алюмінієвої мішенні простежувалося монотонне збільшення коефіцієнта відбивання протягом часу 100–150 нс з наступною релаксацією до початкового стану через  $\sim 50$  нс (рис. 4а). У цьому випадку протягом  $\sim 50$  нс після початку нагрівання область взаємодії має неоднорідну структуру, яка нівелюється у процесі збільшення коефіцієнта відбивання.

#### IV. ОБГОВОРЕННЯ РЕЗУЛЬТАТИВ

Завдяки контрольним експериментам і застосуванню мас–спектрометричного комплексу з роздільною здатністю  $R \leq 500$  виявлені двогорбий характер йонної емісії  $\text{Al}^+$ ,  $\text{C}_5^+$ ,  $\text{C}_6^+$ .

Двогорбість емісії  $\text{Al}^+$  спричинена сильним радіаційним нагріванням поверхні плазмовим згустком, що відповідає за другий пік (менший від першого), ефект підсилюється внаслідок резонансного [8, 13] поглинання Al лазерного випромінювання з  $\lambda = 308$  нм. Підтвердженням резонансного поглинання є збільшення виходу іонів вуглецю внаслідок домішки в мішенні алюмінієвої присадки, а також різні часові залежності відбивної здатності фокальної плями для алюмінієвої та графітової мішенні (рис. 4).

Відсутність структури в емісії  $\text{Al}^+$  при опроміненні з тилевого боку пояснюється тим, що внаслідок низької температуропровідності підкладки випаровується спочатку плівка по всій товщині, а далі можливий радіаційний підігрів з боку Al плазми діє тільки на підкладку, спричинюючи емісію  $\text{Si}^+$ ,  $\text{O}^+$ ,  $\text{H}^+$ . Це є додатковим підтвердженням коректності моделі [8, 13]. Якщо плівки товсті, то емісія спричинена нагріванням внутрішнього боку плівки (з боку підкладки), а також поширенню теплової хвилі в Al плівці (внаслідок малої температуропровідності підкладки теплова хвилі поширюється переважно в Al плівці), її проплавленню й емісії йонних і нейтральних компонент з енергіями  $\sim 5\text{--}7$  еВ (порядку роботи виходу атома з поверхні).

При опромінюванні масивної графітової мішенні і товстих плівок (з фронту) простежується емісія іонів  $\text{C}^+$ ,  $\text{C}_2^+$ ,  $\text{C}_3^+$  з найбільш інтенсивним  $\text{C}_2^+$ , навіть при інтенсивностях  $q = 10^9 \text{ Вт}/\text{см}^2$ , коли в мас–спектрах є іон  $\text{C}_2^+$ , що свідчить про переважний характер випа-

ровування графіту у вигляді  $\text{C}_2$ . Це підтверджують дані залежностей тисків насичених парів  $\text{C}_1$ ,  $\text{C}_2$ ,  $\text{C}_3$  від температури [14], згідно з якими енергії зв'язку в перерахунку на один атом становлять відповідно 7.2, 4.0, 2.6 еВ. Додатковим підтвердженням цього є експериментальне визначення енергії лазерної сублімації графіту  $\sim 32 \text{ кДж}/\text{г}$  ( $\sim 4 \text{ еВ}/\text{Атом}$ ) [15], а також наявність значної частини  $\text{C}_2^+$  у мас–спектрах при імпульсно–періодичному нагріванні графітової мішенні випромінюванням лазера на парах міді [16].

Як свідчать оцінки, згідно з моделлю [7] під час дії лазерного випромінювання на графіт ізотермічний скачок у межах однофазної задачі Стефана виражений слабше, що підтверджується відсутністю двогорбової структури емісії  $\text{C}^+$ ,  $\text{C}_2^+$ ,  $\text{C}_3^+$ .

Очевидно, багатогорба структура емісії  $\text{C}_5^+$ ,  $\text{C}_6^+$ , а також, можливо, і  $\text{C}_{60}^+$  (роздільна здатність апаратури не дала змоги це зафіксувати) зумовлена ударними процесами, спричиненими хвилею розвангання в мішенні під дією плазми, що розширяється. Підтвердженням цього є такі факти:

двогорбість емісії  $\text{C}_5^+$ ,  $\text{C}_6^+$  з інтервалом 300–400 нс, який згідно з [4] не можна пояснити піковим характером йонної емісії;

відсутність двогорбого характеру в емісії  $\text{C}^+$ ,  $\text{C}^{2+}$ ,  $\text{C}_2^+$ ,  $\text{C}_3^+$ ;

пороговий характер виникнення двогорбості (поріг виникнення ударної хвилі)  $q > 5 \cdot 10^8 \text{ Вт}/\text{см}^2$ ;

різке зменшення емісії  $\text{C}_5^+$ ,  $\text{C}_6^+$ ,  $\text{C}_{60}^+$  при опроміненні тонкої плівки як з тилевого, так і з фронтального боку (ударна хвиля після випаровування плівки по всій товщині потрапляє в очищену підкладку).

При опроміненні масивних мішень і товстих плівок з фронту  $q > 10^8 \text{ Вт}/\text{см}^2$  енергії нейтральних компонент  $\sim 10 \text{ еВ}$  в п'ять–десять разів нижчі від йонних, що пояснюється прискоренням іонів у подвійному електричному шарі на границі згустка плазми.

#### V. ВИСНОВКИ

Експериментально показана можливість застосування КПЯ на базі активного елемента лазера на парах міді для спостереження за областю дії лазерного випромінювання на поверхню з розділенням у часі  $\sim 25$  нс.

Виявленний складний механізм йонної емісії, спричинений радіаційним нагріванням мішенні з боку плазмового згустка, а також ударними процесами в мішенні.

Ці процеси разом з ефектами, виявленими в праці [4], реально обмежують роздільну здатність лазерного часопролітної мас–спектрометра.

Іонну емісію під дією ударних хвиль можна застосовувати як додаткове джерело інформації про міжатомні зв'язки в структурі поверхні.

- [1] W. Ehler, W. I. Lindor, *J. Appl. Phys.* **44**, 4229 (1973).
- [2] И. И. Опачко, И. П. Запесочный, О. В. Лукша, *В кн.: Структура и физические свойства тонких пленок* Матер. конф. (ППП Патент, Ужгород, 1977), с. 120.
- [3] Б. А. Мамырин, В. И. Карапаев, Д. В. Шмикк, В. А. Загулин, *ЖЭТФ* **64**, 82 (1973).
- [4] Н. Т. Находкин, Г. А. Зыков, В. Т. Матвеев, *Укр. физ. журн.* **31**, 1017 (1986).
- [5] Ю. В. Афанасьев, О. Н. Крохин, *в кн.: Физика высоких плотностей энергии* (Мир, Москва, 1974), с. 311.
- [6] С. И. Анисимов, Я. А. Имас, Г. С. Романов, Ю. В. Ходыко, *Действие излучения большой мощности на металлы* (Наука, Москва, 1970).
- [7] В. И. Манжукин, А. А. Самохин, *Математическое моделирование* (Наука, Москва, 1987).
- [8] А. П. Гаврилюк, Н. Я. Шапарев, О. Э. Якубайлик, Квантовая электроника **20**, 828 (1993).
- [9] А. Н. Малинин, Л. Л. Шимон, И. И. Опачко, В. М. Добош, Б. Я. Хомяк, Квантовая электроника **21**, 1174 (1994).
- [10] И. И. Опачко, *Теплофизика высоких температур* **5**, 1020 (1989).
- [11] Я. Б. Зальдович, Ю. П. Райзер, *Физика ударных волн и высокотемпературных явлений* (Наука, Москва, 1966).
- [12] Н. И. Коротеев, И. Л. Шумай, *Физика мощного лазерного излучения* (Наука, Москва, 1991).
- [13] А. П. Гаврилюк, Н. Я. Шапарев, *ЖТФ* **6**, 1 (1993).
- [14] А. Н. Несмеянов, *Давление пара химических элементов* (Изд-во АН СССР, Москва, 1961).
- [15] C. A. Klein, *EQEC 89, Proc. J27* (Dresden, 1989).
- [16] I. I. Opachko, L. L. Shimon, *SPIE* **2110**, 250 (1993).

## DYNAMICS OF ION EMISSION AT RESONANT AND UNRESONANT ABSORPTION OF LASER RADIATION BY PLASMA ON THE SOLID SURFACE

I. I. Opachko, L. L. Shimon, B. Ya. Khomyak

*Uzhgorod State University, 46 Drugetiv Str., Uzhgorod UA-294000, Ukraine*

In the article the dynamics of the ion emission under the action of XeCl eximer laser radiation onto the surface has been studied by the time-of-flight mass-spectrometry method with the time resolution of  $\sim 50$  ns.

While irradiating graphite and aluminium targets (both the bulk and the film ones) for which the process of laser radiation absorption was of unresonant and resonant character the mass-energy spectra of emitted components have been studied. A “two-hilled” structure of  $\text{Al}^+$  ion emission conditioned by a resonant character of laser radiation absorption ( $\lambda = 308$  nm) by aluminium vapour as well as “two-hilled” structure of  $\text{C}_n^+$  conditioned by the shock waves in the graphite target at unresonant absorption have been revealed to be responsible for the formation of compound molecules of  $\text{C}_n$ .

The possibility to observe the action of excimer laser onto the surface in the optical range of  $\lambda = 510.6$  nm with the help of quantum luminance amplifier based on the active element of Cu vapour laser with the resolution of  $\sim 25$  ns has been proved by the experiment.

The correlation between the reflecting properties of the interaction region and the dynamics of ion emission has also been revealed.